проплав. Вопрос о целесообразности его внедрения может быть решен лишь после проведения соответствующих технико-экономических расчетов.

ЛИТЕРАТУРА

1. Инструкция по проектированию лесосплавных предприятий. ВСН 4-78, — Л.: Ротапринт Гипролестранса, 1979. — 293 с. 2. Водный транспорт леса: Справочник. — М.: Гослесбумиздат, 1963. — 561 с.

УДК 625.7 + 539.376

С.С.МАКАРЕВИЧ, канд. техн. наук (БТИ)

К РАСЧЕТУ СЛОИСТЫХ ВЯЗКОУПРУГИХ ДОРОЖНЫХ ОДЕЖД

В работах [1-3] приводятся основы расчета дорожных одежд из вязкоупругих материалов. Но конкретные аналитические выражения, характеризующие напряжения и перемещения, получены только для однородного вязкоупругого полупространства [3, 4] и для двухслойной конструкции [5]. Дорожные конструкции, состоящие из трех и более слоев имеют очень усложненное решение систем дифференциальных и интегральных уравнений. Применение численных методов на основе ЭВМ оказывается в данном случае тоже недостаточно рациональным. Как показано в работе [6], даже в упругой постановке решение этой задачи с помощью ЭВМ не всегда дает удовлетворительные результаты, так как вычислительный процесс длителен и подчас неустойчив. Поэтому в данной работе рассматривается приведение многослойной дорожной конструкции к двухслойной расчетной модели. Так как толщина верхних слоев дорожной одежды невелика по сравнению с подстилающим полупространством, то их можно заменить одним эквивалентным однородным слоем с переменным по высоте модулем упругости Е_ (рис. 1). Найдем зависимость модуля упругости Е, от модулей упругости слоев. Выделим из дорожной конструкции элемент высотой h, соответствующий толщине всех

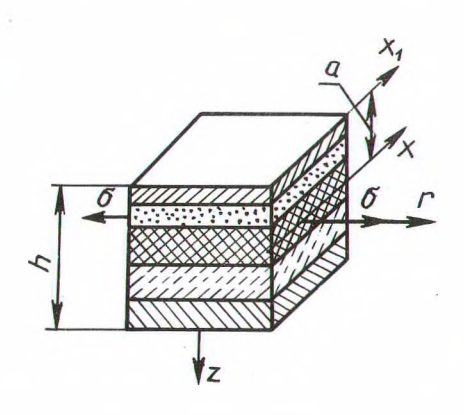


Рис. 1. Расчетная схема слоистой системы.

слоев, лежащих над подстилающим полупространством, и с поперечными размерами, равными единице.

При дальнейших выводах будем полагать, что слои в пачке деформируются согласно наследственной теории Больцмана—Вольтерра. Между ними существует полное сцепление, и они работают совместно без проскальзывания; соблюдается гипотеза плоских сечений (гипотеза Бернулли). Следует отметить, что коэффициенты Пуассона для материалов, применяемых при строительстве дорог, отличаются незначительно, а поэтому стеснением поперечных деформаций можно пренебречь.

Выберем начало координат в центре параллелепипеда. Загрузим параллелепипед постоянным напряжением σ , параллельным оси r. Так как слои не симметричны относительно оси r, то грани параллепепипеда под действием напряжения σ будут поворачиваться. Эквивалентный однородный слой должен деформироваться так же, как многослойная конструкция. Исходя из гипотезы плоских сечений естественно предположить, что модуль упругости эквивалентного слоя меняется по линейному закону, т.е.

$$E_{r}(t) = E_{0}(t) + zk(t),$$
 (1)

где $E_0^-(t)-$ модуль упругости в начале координат; k(t)- коэффициент, не зависящий от z.

Деформация в направлении оси г на произвольном расстоянии z от начала координат будет равна

$$\epsilon(t) = \epsilon_0(t) + z\kappa(t),$$
 (2)

где $\epsilon_0^-({\sf t})$ — деформация в начале координат; $\kappa^-({\sf t})$ — кривизна в начале координат.

Напряжение, согласно закону Гука, с учетом (1) и (2)

$$\sigma(t) = (\epsilon_0(t) + z\kappa(t))(E_0(t) + zk(t)). \tag{3}$$

Запишем уравнения равновесия:

$$\int_{A} \sigma(t) dA = \sigma A; \qquad \int_{A} \sigma(t) z dA = 0, \tag{4}$$

где А - площадь грани, перпендикулярной оси г.

Подставляя в уравнения (4) σ (t), согласно (3), и производя интегрирование, получим:

$$\mathsf{E}_0(\mathsf{t})\epsilon_0(\mathsf{t})\mathsf{A} + \epsilon_0(\mathsf{t})\mathsf{k}(\mathsf{t})\mathsf{S}_\mathsf{x} + \mathsf{E}_0(\mathsf{t})\kappa(\mathsf{t})\mathsf{S}_\mathsf{x} + \mathsf{k}(\mathsf{t})\kappa(\mathsf{t})\mathsf{I}_\mathsf{x} = \sigma\mathsf{A}; \tag{5}$$

$$E_0(t)\epsilon_0(t)S_x + \epsilon_0(t)k(t)I_x + E_0(t)\kappa(t)I_x + k(t)\kappa(t)R_x = 0,$$
 (6)

где $S_x = \int\limits_A z dA - c$ татический момент площади A относительно оси x; $I_x =$

 z^2 dA — момент инерции; $R_x = \int z^3 dA$ — назовем моментом инерции вто- A

рого порядка.

Если ось х проходит через центр тяжести площади A, то $S_x = 0$ и $R_x = 0$, и уравнения (5) и (6) перепишутся так:

$$E_0(t)e_0(t)A + k(t)\kappa(t)I_x = oA;$$
(7)

$$\epsilon_{0}(t)k(t) + E_{0}(t)\kappa(t) = 0.$$
 (8)

Решая совместно уравнения (7) и (8), получим:

$$\epsilon_0(t) = -\frac{A\sigma E_0(t)}{k^2(t) I_x - E_0^2(t)A}; \qquad (9)$$

$$\kappa(t) = \frac{A\sigma k(t)}{k^2(t)I_x - E_0^2(t)A}$$
 (10)

Теперь рассмотрим слоистый параллелепипед.

Согласно наследственной теории Больцмана—Вольтерра напряжение в i-м слое будет равно

$$\sigma_{i}(t) = E_{i}[\epsilon(t) - \int_{0}^{t} R_{i}(t - \tau)\epsilon(\tau)d\tau],$$

где $R_i(t-\tau)$ — резольвента интегрального уравнения.

Подставляя ϵ (t) согласно (2), получим

$$\sigma_{i}(t) = E_{i}[\epsilon_{0}(t) + z\kappa(t) - \int_{0}^{t} R_{i}(t-\tau)(\epsilon_{0}(\tau) + z\kappa(\tau))d\tau]. \tag{11}$$

Запишем уравнения равновесия:

$$\sum_{i=1}^{n} \int_{A_{i}} \sigma_{i}(t) dA_{i} = \sigma A, \sum_{i=1}^{n} \int_{A_{i}} \sigma_{i}(t) z dA_{i} = 0.$$

Подставляя в уравнения равновесия $\sigma_{\rm j}$ (t) согласно (11) и интегрируя по площади, получим:

$$\sum_{i=1}^{n} E_{i} [A_{i} \epsilon_{0}(t) + S_{i} \kappa(t) - A_{i} \int_{0}^{t} R_{i}(t-\tau) \epsilon_{0}(\tau) d\tau - S_{i} \int_{0}^{t} R_{i}(t-\tau) \kappa(\tau) d\tau] =$$

$$= \sigma A; \qquad (12)$$

$$\sum_{i=1}^{n} \mathsf{E}_{i} \left[\mathsf{S}_{i} \epsilon_{0}(\mathsf{t}) + \mathsf{I}_{i} \kappa(\mathsf{t}) - \mathsf{S}_{i} \int_{0}^{\mathsf{t}} \mathsf{R}_{i}(\mathsf{t} - \tau) \epsilon_{0}(\tau) d\tau - \mathsf{I}_{i} \int_{0}^{\mathsf{t}} \mathsf{R}_{i}(\mathsf{t} - \tau) \kappa(\tau) d\tau \right] = 0$$
(13)

Для определения из уравнений (12) и (13) ϵ_0 (t) и κ (t) воспользуемся преобразованием Лапласа.

Произведем преобразование уравнений (12) и (13) по Лапласу:

$$\sum_{i=1}^{n} E_{i} \left[A_{i} \epsilon_{0}(p) + S_{i} \kappa(p) - A_{j} R_{i}(p) \epsilon_{0}(p) - S_{i} R_{j}(p) \kappa(p) \right] = \sigma A/p.$$
 (14)

$$\sum_{i=1}^{n} E_{i} \left[S_{i} \epsilon_{0}(p) + I_{i} \kappa(p) - S_{i} R_{i}(p) \epsilon_{0}(p) - I_{i} R_{i}(p) \kappa(p) \right] = 0, \tag{15}$$

где р - параметр преобразования.

Из уравнений (14) и (15) найдем:

$$\epsilon_{0}(p) = -\frac{\sigma A \sum_{i=1}^{n} E_{i} I_{i}(1 - R_{i}(p))}{p[(\sum_{i=1}^{n} E_{i} S_{i}(1 - R_{i}(p)))^{2} - \sum_{i=1}^{n} E_{i} A_{i}(1 - R_{i}(p)) \sum_{i=1}^{n} E_{i} I_{i}(1 - R_{i}(p))]};$$

$$\kappa(p) = \frac{\sigma A \sum_{i=1}^{n} E_{i} S_{i}(1 - R_{i}(p))}{p[(\sum_{i=1}^{n} E_{i} S_{i}(1 - R_{i}(p)))^{2} - \sum_{i=1}^{n} E_{i} A_{i}(1 - R_{i}(p)) \sum_{i=1}^{n} E_{i} I_{i}(1 - R_{i}(p))]};$$

$$(16)$$

$$\kappa(p) = \frac{\sigma A \sum_{i=1}^{n} E_{i} S_{i}(1 - R_{i}(p))}{p[(\sum_{i=1}^{n} E_{i} S_{i}(1 - R_{i}(p)))^{2} - \sum_{i=1}^{n} E_{i} A_{i}(1 - R_{i}(p)) \sum_{i=1}^{n} E_{i} I_{i}(1 - R_{i}(p))]};$$

В работе [7] показано, что для материалов, применяемых в дорожном строительстве, в качестве ядра ползучести можно принять экспоненту

$$K_{i}(t) = L_{i}e^{-\alpha_{i}t}$$
(18)

где L_j и a_j — константы материала, определяемые из экспериментов на ползучесть.

Резольвентой ядра (18) будет

$$R_{i}(t) = L_{i} e^{-\beta_{i}t}$$
 (19)

где $\beta_i = L_i + \alpha_i$.

Изображение резольвенты (19) равно:

$$R_{i}(p) = \frac{L_{i}}{p + \beta_{i}} \qquad (20)$$

Подставляя (20) в выражения (16) и (17) и производя обратное преобразование, получим:

$$\epsilon_0(t) = -\frac{\sigma A}{D} \left(\frac{F_1(0)}{F(0)} + \sum_{i=1}^m \frac{F_1(r_i)}{r_i F'(r_i)} e^{r_i t} \right);$$
 (21)

$$\kappa(t) = \frac{\sigma A}{D} \left(\frac{F_2(0)}{F(0)} + \sum_{i=1}^{m} \frac{F_2(r_i)}{r_i F'(r_i)} e^{r_i t} \right). \tag{22}$$

Здесь D = $(\sum_{i=1}^{n} E_{i}S_{i})^{2} - \sum_{i=1}^{n} E_{i}A_{i}\sum_{i=1}^{n} E_{i}I_{i};$

$$F_1(p) = [\prod_{i=1}^{n} (p + \beta_i)]^2 \sum_{i=1}^{n} E_i I_i \frac{p + \alpha_i}{p + \beta_i}$$

$$F_{2}(p) = \left[\prod_{i=1}^{n} (p + \beta_{i}) \right]^{2} \sum_{i=1}^{n} E_{i} S_{i} \frac{p + \alpha_{i}}{p + \beta_{i}} ;$$

$$F(p) = \frac{1}{D} \left[\prod_{i=1}^{n} (p + \beta_{i}) \right]^{2} \left[\left(\sum_{i=1}^{n} E_{i} S_{i} \frac{p + \alpha_{i}}{p + \beta_{i}} \right)^{2} - \sum_{i=1}^{n} E_{i} A_{i} \frac{p + \alpha_{i}}{p + \beta_{i}} \sum_{i=1}^{n} E_{i} I_{i} \frac{p + \alpha_{i}}{p + \beta_{i}} \right]^{2}$$

где \mathbf{r}_i — корни уравнения \mathbf{F} (p) = 0; \mathbf{F}_1 (O) , \mathbf{F}_2 (O) и \mathbf{F} (O) — значения \mathbf{F}_1 (p) , \mathbf{F}_2 (p) и \mathbf{F} (p) при \mathbf{p} = 0; \mathbf{F}_1 (\mathbf{r}_i), \mathbf{F}_2 (\mathbf{r}_i) — значения \mathbf{F}_1 (p) и \mathbf{F}_2 (p) при \mathbf{p} = \mathbf{r}_i ; \mathbf{F}' (\mathbf{r}_i) — значения производной $\frac{d\mathbf{F}(\mathbf{p})}{d\mathbf{p}}$ при \mathbf{p} = \mathbf{r}_i .

Учитывая, что эквивалентный однородный слой и многослойная конструкция должны деформироваться одинаково, а поэтому приравнивая правые части уравнений (9) и (21), (10) и (22), найдем:

$$\lambda(t) = \frac{E_0(t)}{k(t)} = \frac{\frac{F_1(0)}{F(0)} + \sum_{i=1}^{m} \frac{F_1(r_i)}{r_i F'(r_i)} e^{r_i t}}{\frac{F_2(0)}{F(0)} + \sum_{i=1}^{m} \frac{F_2(r_i)}{r_i F'(r_i)} e^{r_i t}};$$
(23)

$$k(t) = \frac{D}{(I_x - A\lambda^2(t))(\frac{F_2(0)}{F(0)} + \sum_{i=1}^{m} \frac{F_2(r_i)}{r_i F'(r_i)} e^{r_i t})};$$
(24)

$$\mathsf{E}_{\mathsf{O}}(\mathsf{t}) = \mathsf{k}(\mathsf{t})\lambda(\mathsf{t}). \tag{25}$$

Подставляя (24) и (25) в выражение (1), получим модуль упругости E_ (t) для эквивалентного однородного слоя.

Как видно из уравнения (1), значение k(t) не зависит от выбора начала координат. Поэтому величина k(t), определенная по формулам (23) и (24), когда начало координат выбрано в центре слоистой конструкции, будет оставаться такой же, если начало координат перенести в верхнюю точку. $\lambda(t)$ имеет размерность длины, а поэтому относительно произвольной оси x_1 , параллельной оси x и отстоящей от нее на расстоянии x_1 , будет равна

$$\lambda_1(t) = \lambda(t) + a$$

Тогда E_0 (t) относительно произвольной оси x_1 определится формулой (25) , но с заменой λ (t) на λ_1 (t) , т.е.

$$E_0(t) = k(t)\lambda_1(t).$$

Нагрузим теперь выделенный параллелепипед (рис. 1) постоянным напряжением в направлении оси z. Деформация i-го слоя запишется уравнением

$$\epsilon_{i}(t) = \frac{1}{E_{i}} \left[\sigma_{i}(t) + \int_{0}^{t} K_{i}(t - \tau) \sigma(\tau) d\tau \right]. \tag{26}$$

Деформация в целом слоистого параллелепипеда в направлении оси z будет равна

$$\epsilon(t) = \sum_{i=1}^{n} \eta_{i} \epsilon_{i}(t),$$
 (27)

где $\eta_{_{i}}^{}=\mathsf{A}_{_{i}}^{}/\mathsf{A}.$ Для эквивалентного слоя

$$\epsilon(t) = \frac{\sigma}{E_z(t)}, \tag{28}$$

где $\mathsf{E}_{_{\mathsf{Z}}}(\mathsf{t})$ — модуль упругости эквивалентного слоя в направлении оси z . Из условия равновесия напряжение в і-м слое равно напряжению, приложенному к параллелепипеду, т.е.

$$\sigma_i(t) = \sigma. (29)$$

Приравнивая правые части уравнений (27) и (28) и учитывая (26) и (29). получим

$$\frac{1}{E_{z}(t)} = \sum_{i=1}^{n} \frac{\eta_{i}}{E_{i}} \left[1 + \int_{0}^{t} K_{i}(t-\tau) d\tau \right].$$
 (30)

Решение уравнения (30) при ядре ползучести (18) дает возможность определить податливость в направлении оси z, а следовательно, и

$$\frac{1}{E_{z}(t)} = \sum_{i=1}^{n} \frac{\eta_{i}}{E_{i}} \left[1 + \frac{L_{i}}{\alpha_{i}} (1 - e^{-\alpha_{i}t})\right].$$

Иногда при расчете конструкций из вязкоупругих материалов с экспоненциальным ядром ползучести пользуются не постоянными L и lpha, а мгновенным модулем упругости Е, длительным Н и временем релаксации N, которые связаны зависимостями:

$$L = \frac{E - H}{EN}$$
, $\alpha = \frac{H}{EN}$.

Полагая в формулах (23) — (25) и (31) t = 0, $t \to \infty$ и $t = \frac{EN}{L}$, можно определить для эквивалентного слоя константы E, H и N как в направлении r, так и в направлении z.

Таким образом, многослойную дорожную конструкцию можно рассчитывать как двухслойную, состоящую из подстилающего полупространства и эквивалентного слоя.

ЛИТЕРАТУРА

1. Леонович И.И., Макаревич С.С., Лащенко А.П. Применение реологических моделей к расчету дорожных одежд. — Минск, 1971. — 183 с. 2. Леоновических моделей к расчету дорожных одежд. — Минск, 1971. — 183 с. 2. Леоновических свойств. — Вестник БГУ, сер. 1, 1976, № 1, с. 25—31. 3. Радовских реологических свойств. — Вестник БГУ, сер. 1, 1976, № 1, с. 25—31. 3. Радовских реологических свойств. — Вестник БГУ, сер. 1, 1976, № 1, с. 25—31. 3. Радовский быструкции как слоистой влакоупругой среды под действием подвижной нагрузки. — Изв. вузов: Строительство и архитектура, 1975, № 4, с. 141—146. 4. Леоновичими и И.И., Макаревич С.С. Задача Буссинеска для однородного упруговлакого полупространства. — Изв. АН БССР. Сер. физ.-техн. наук, 1972, № 3, с. 5—10. 5. Макаревич С.С. Расчет дорожных одежд с учетом упруговлаких деформаций. — В кн.: Механизация лесоразработок и транспорт леса. Минск: Выш. шк., 1976, вып. 6, с. 88—94. 6. Конструирование и расчет нежестких дорожных одежд/Под ред. Н.Н.Иванова. — М.: Транспорт, 1973. — 328 с. 7. Лащенко А.П. Решение задачи определения напряжений и деформаций дорожных одежд и земляного полотна с учетом реологических свойств материалов: Автореф. дис. ... канд. техн. наук. — М., 1983. — 16 с.

УДК 630*839-493.001.2

А.В.ТИМОШЕНКО, А.П.МАТВЕЙКО, канд. техн. наук (БТИ)

ПОКАЗАТЕЛИ ЭФФЕКТИВНОСТИ ПРОЦЕССА СЕПАРАЦИИ ЩЕПЫ В РУБИЛЬНЫХ УСТАНОВКАХ

Вырабатываемая из отходов лесозаготовок и тонкомерных деревьев "зеленая" щепа для производства древесных плит требует ее очистки от примесей древесной зелени (ДЗ), гнили, мелочи, минеральных частиц. В то же время древесная зелень является ценным сырьем для лесохимических производств. В этой связи сепарация "зеленой" щепы на кондиционную щепу для плитных производств и древесную зелень для лесохимических производств приобретает актуальное значение в деле полного и комплексного использования древесного сырья.

Существующий в настоящее время технологический процесс производства щепы связан с дальнейшей ее сортировкой, что требует дополнительных транспортно-переместительных операций и специального оборудования.

Анализ существующего и разрабатываемого оборудования для производства щепы и ее сортировки показывает, что одним из эффективных направлений является использование рубильных установок, обеспечивающих одновременно и сортировку щепы. При работе таких установок осуществляется сепарация измельченного материала на две и более фракций в процессе выработки щепы. При этом эффективность и качество процесса сепарации в установках различных конструкций будут разные. В связи с этим при оценке рубильных установок с сепарированием щепы (рубильно-сепарирующие установки) целесообразно пользоваться показателями эффективности процесса сепа-